

FIG. 1

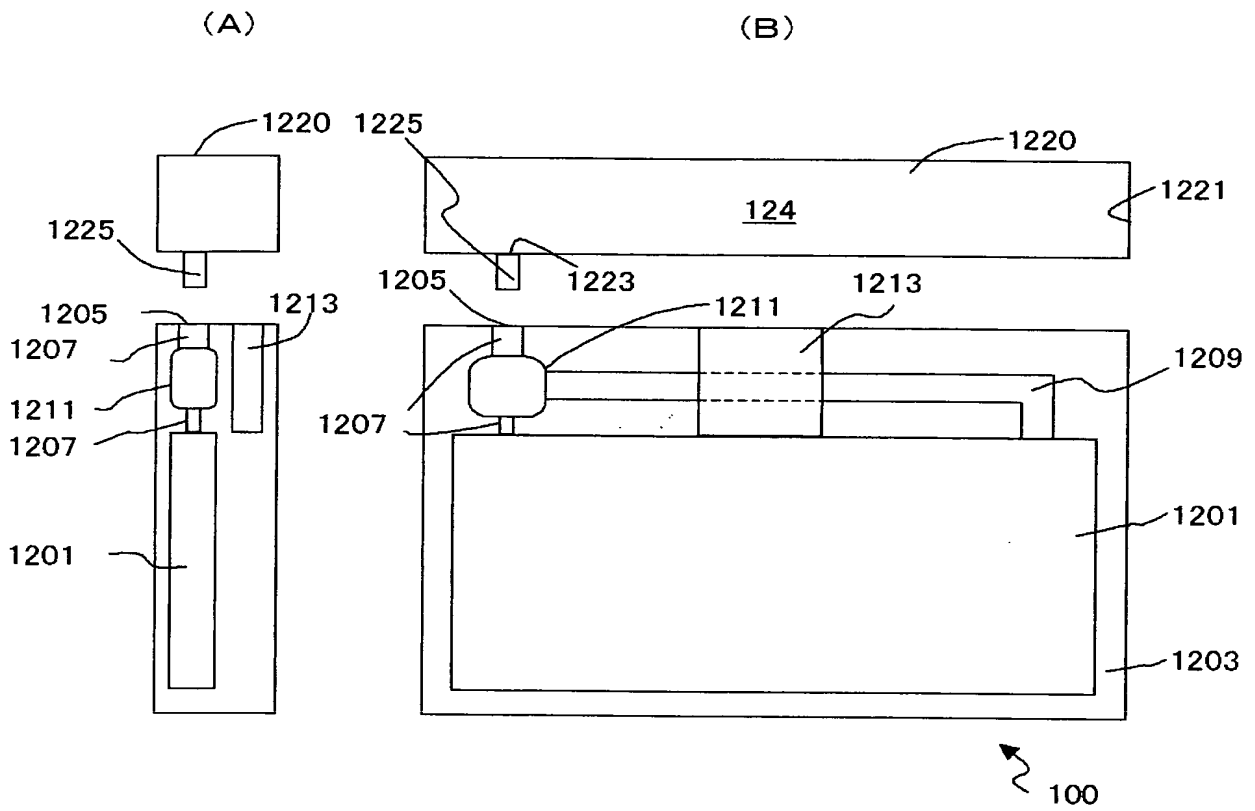


FIG. 2

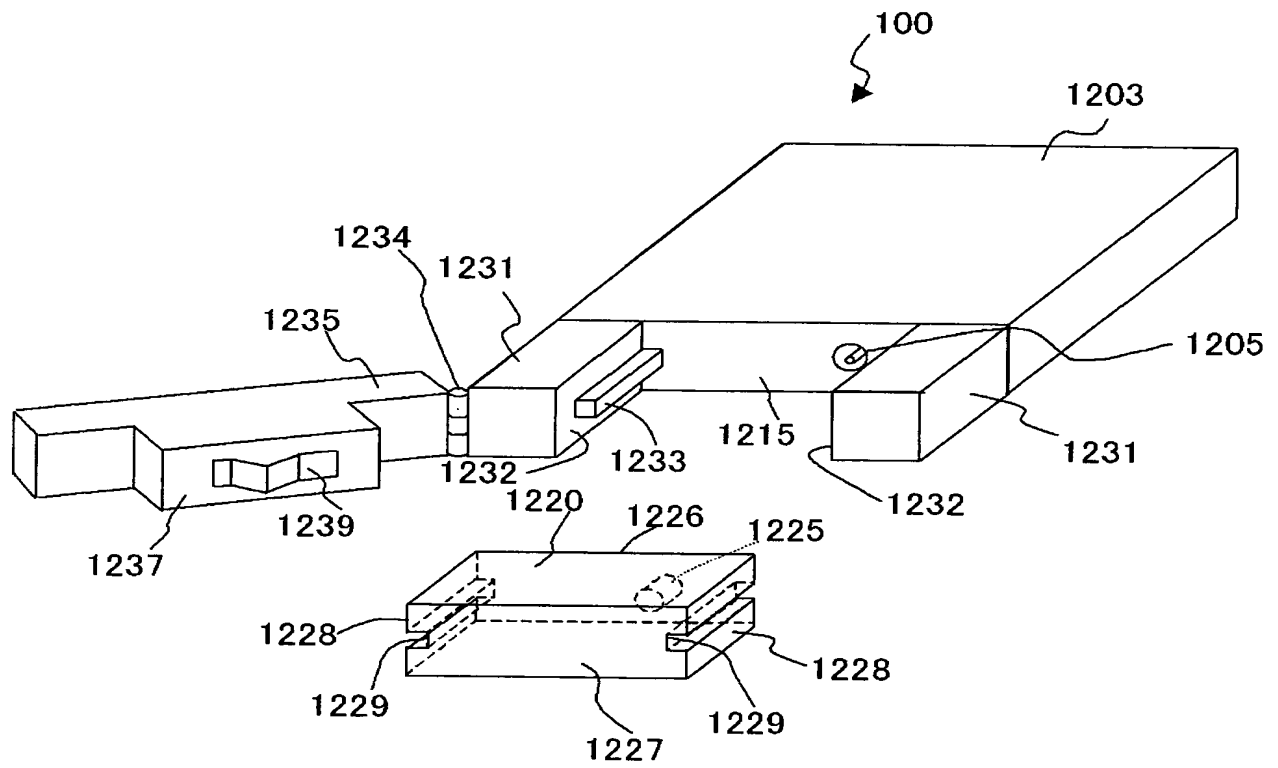


FIG. 3

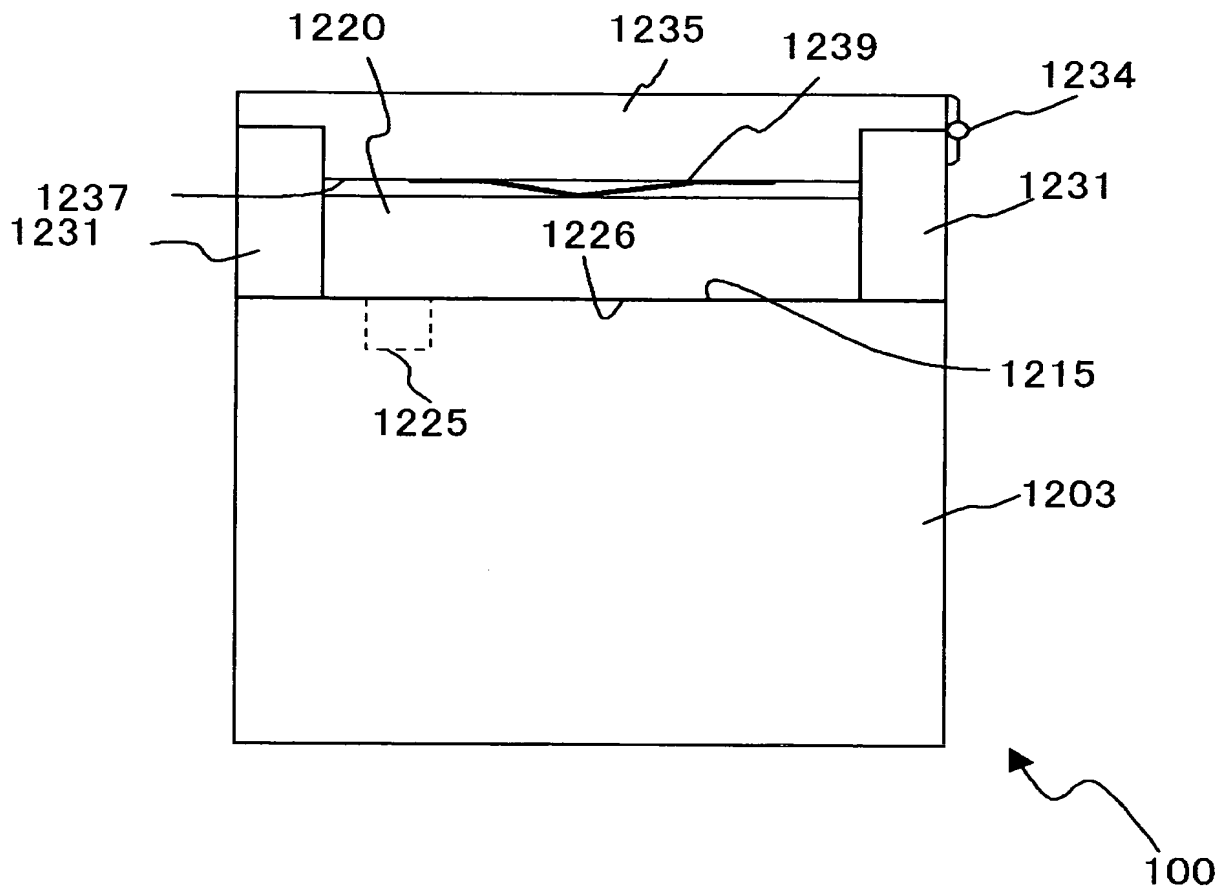


FIG. 4

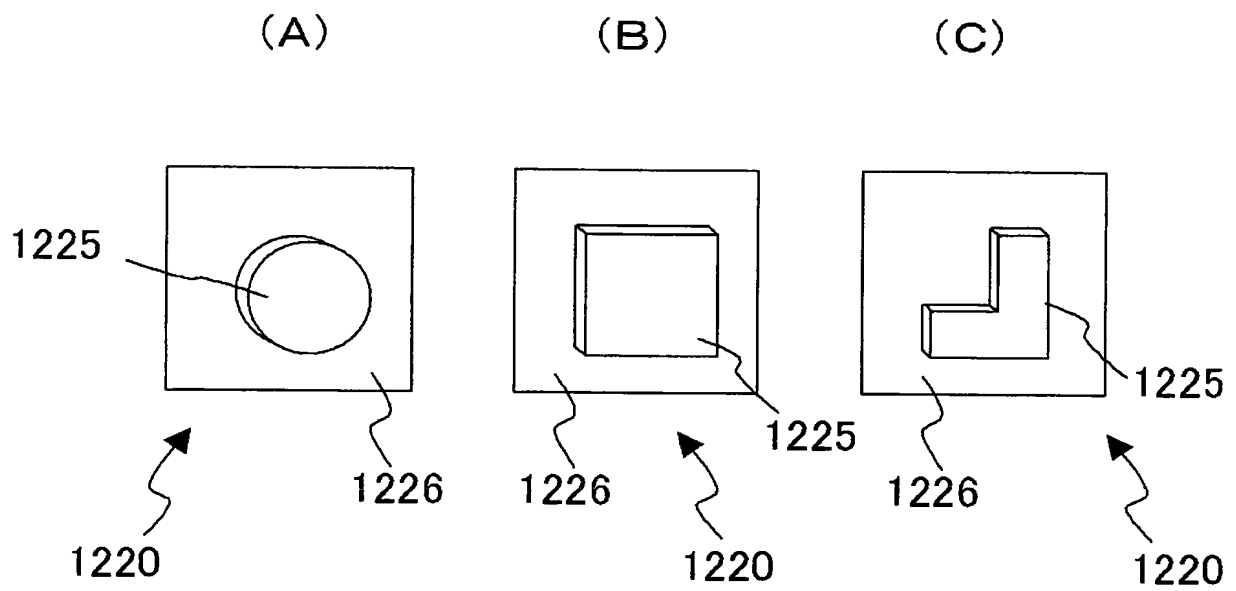
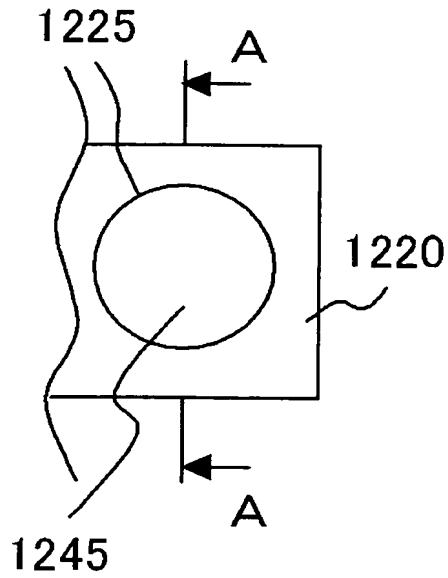
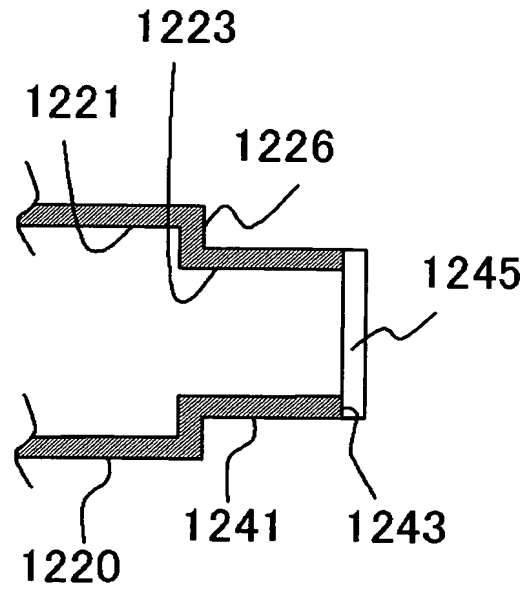


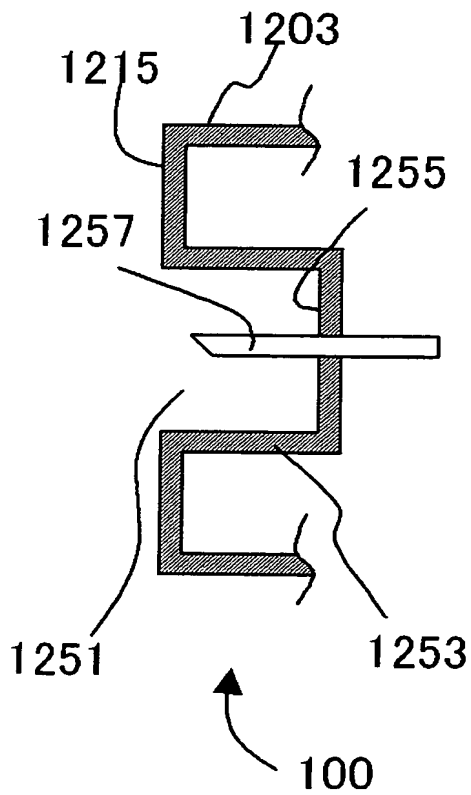
FIG. 5 (A)



(B)



(C)



(D)

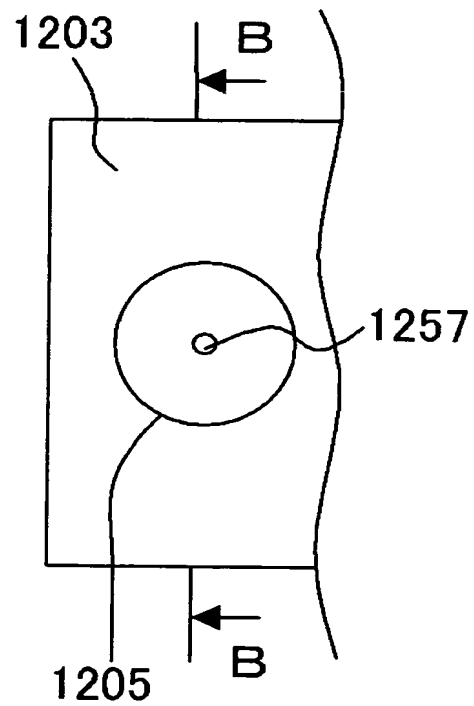


FIG. 6

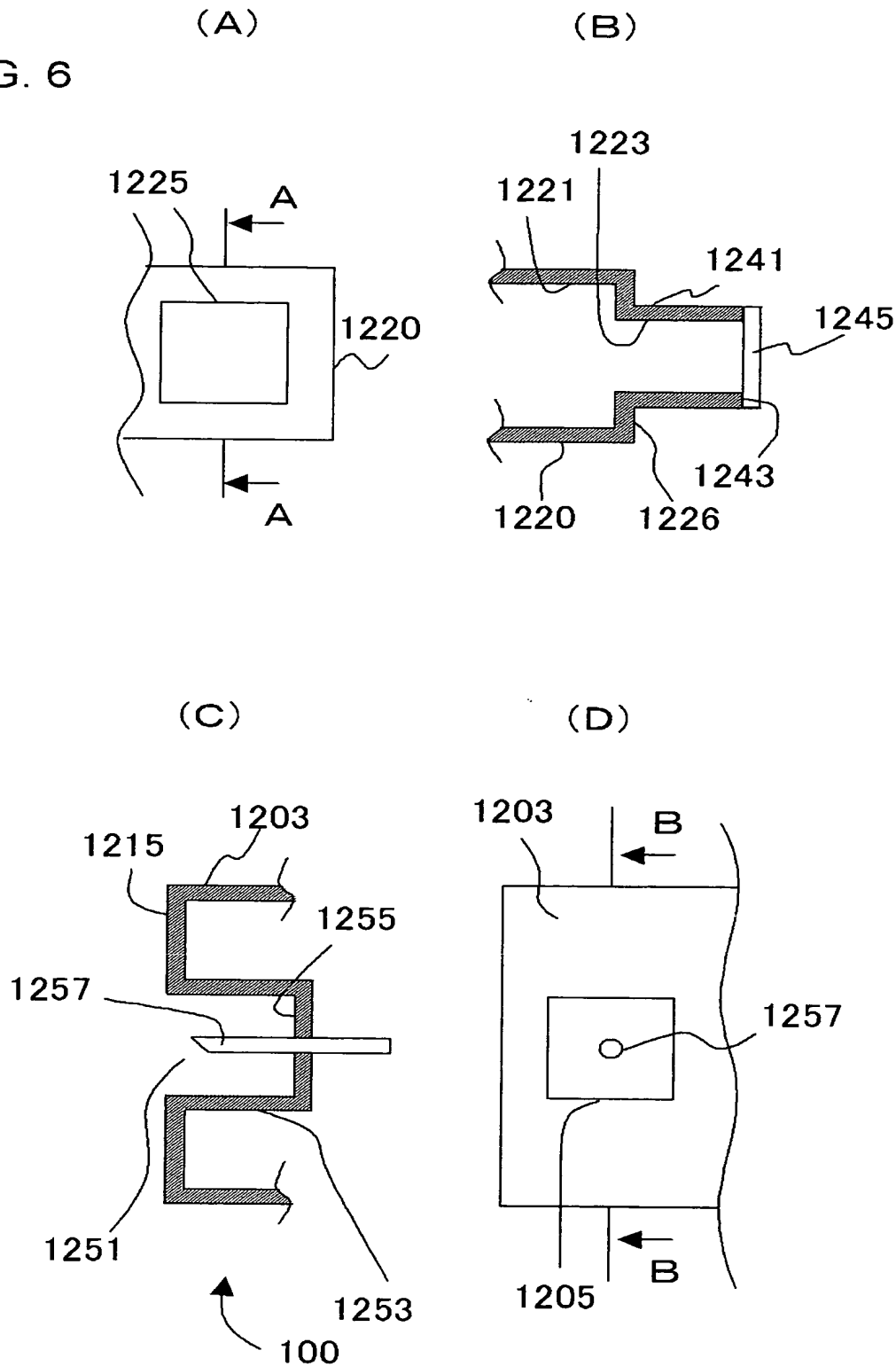


FIG. 7

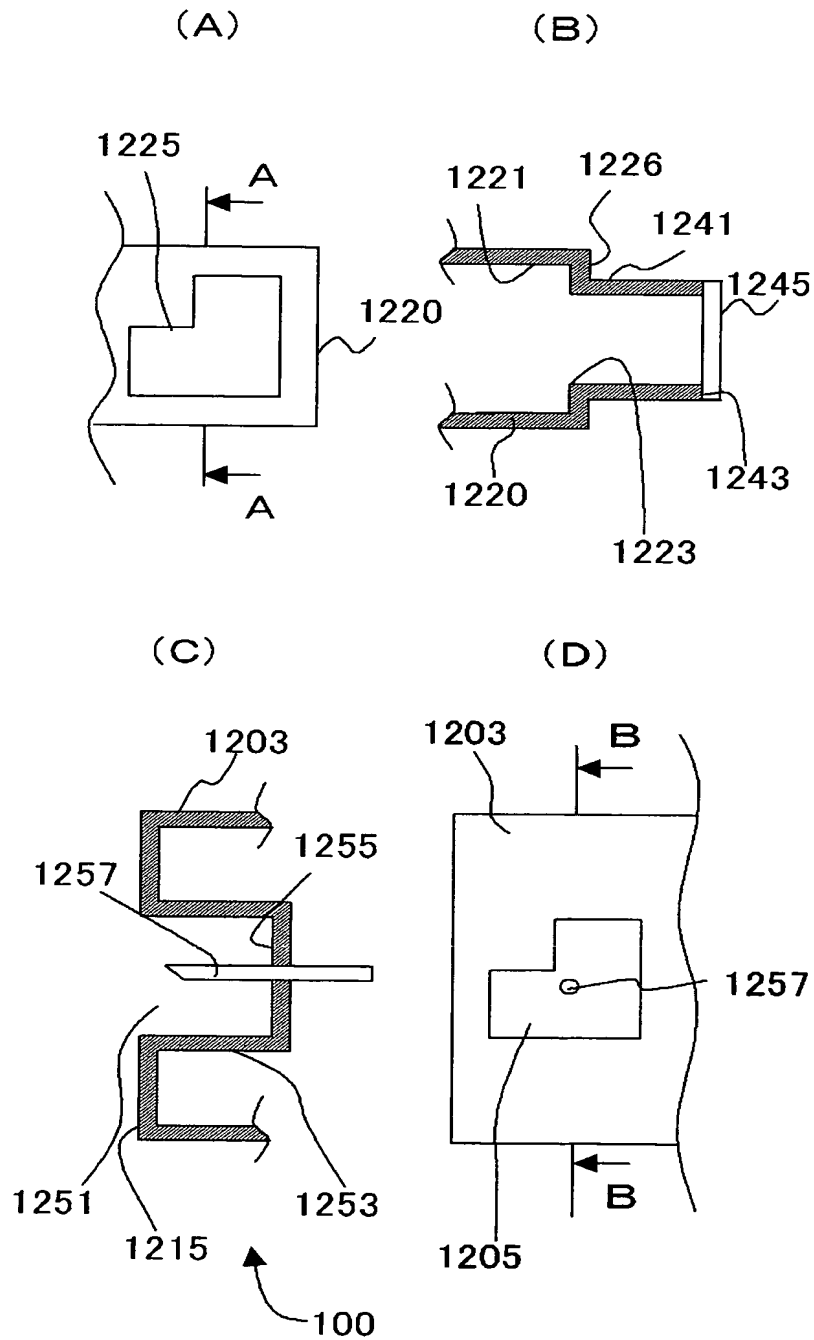


FIG. 8

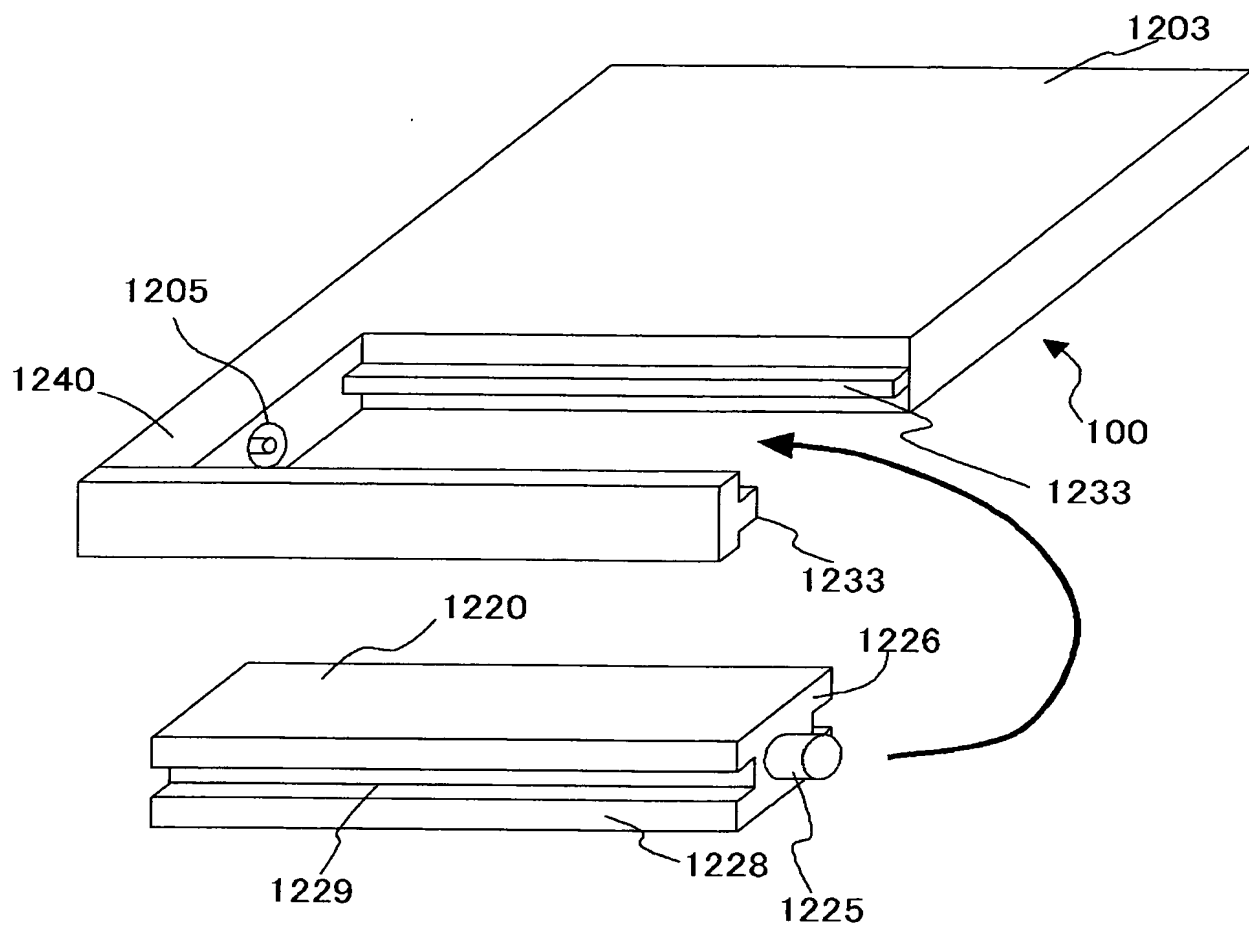


FIG. 9

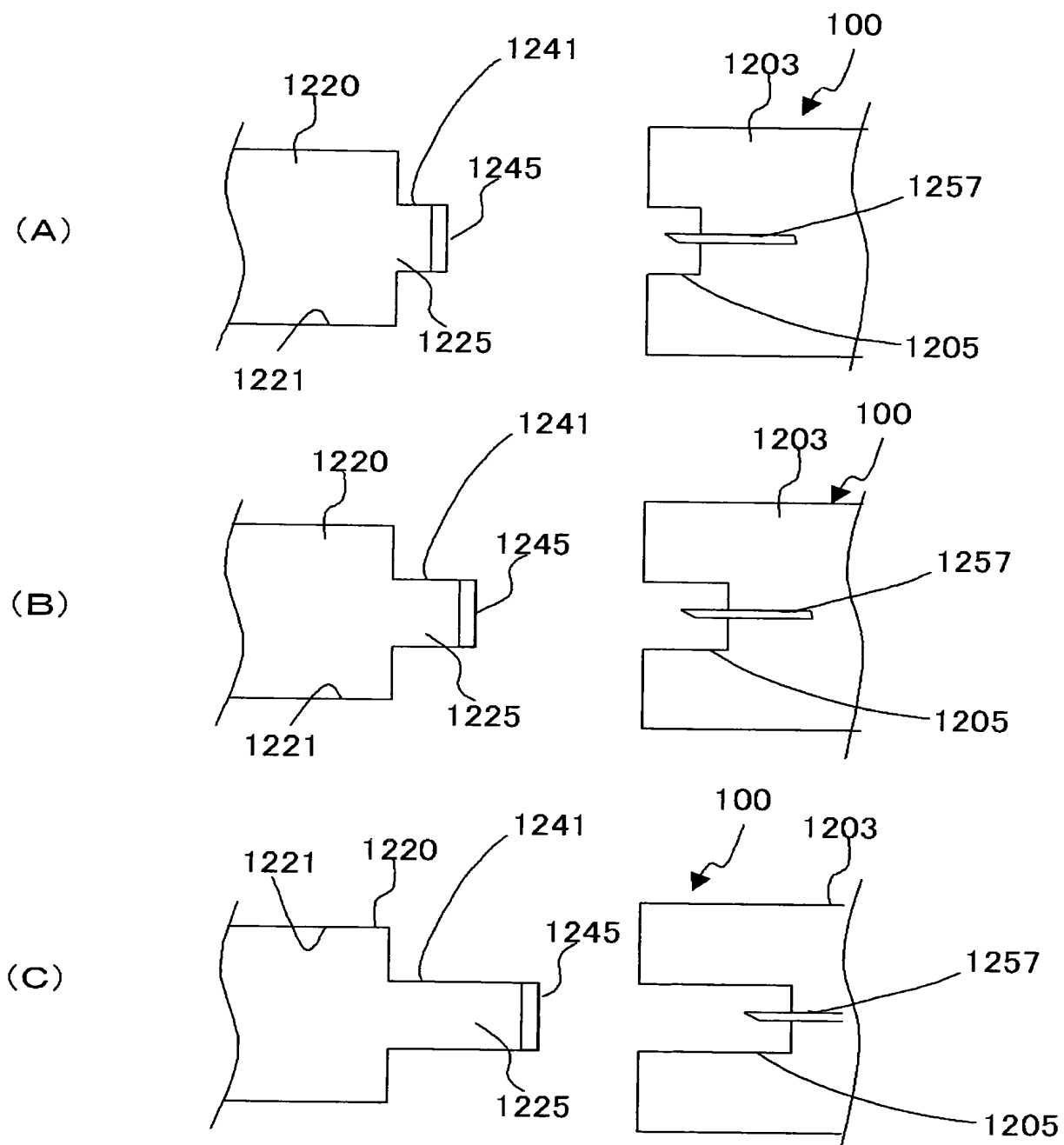


FIG. 10

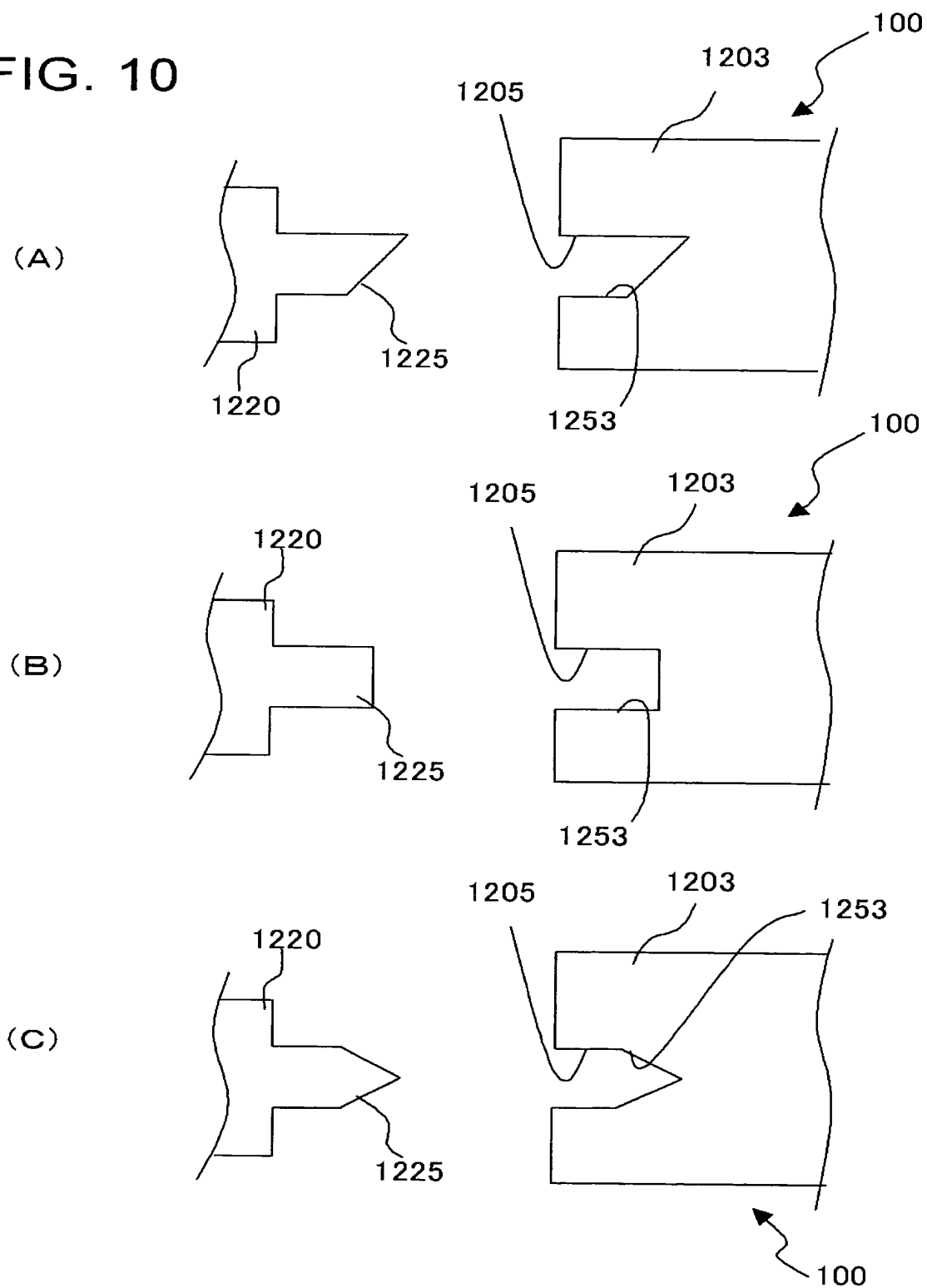


FIG. 11

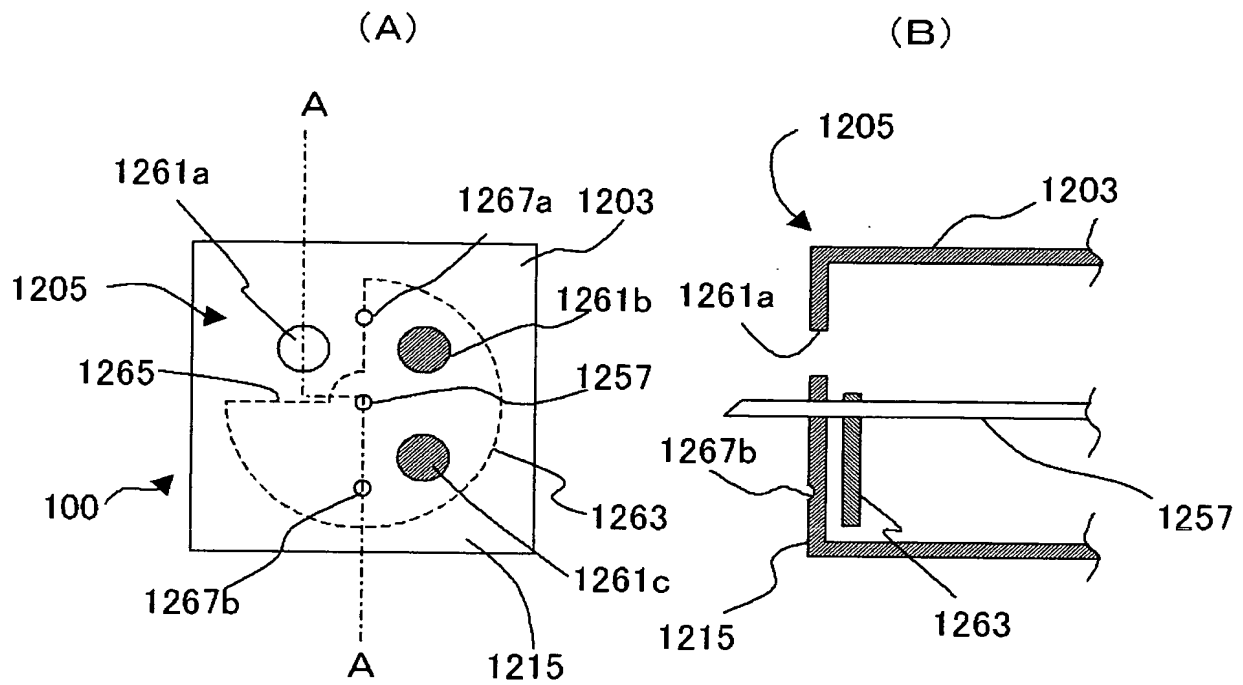


FIG. 12

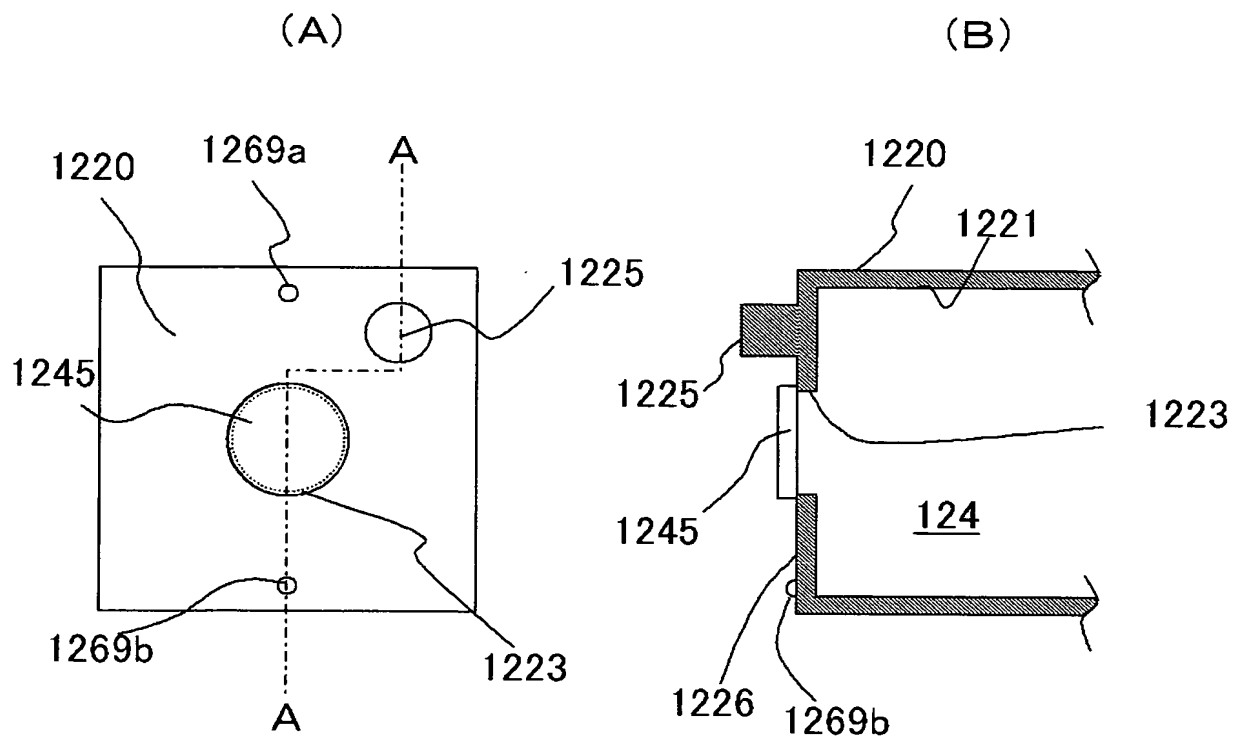


FIG. 13

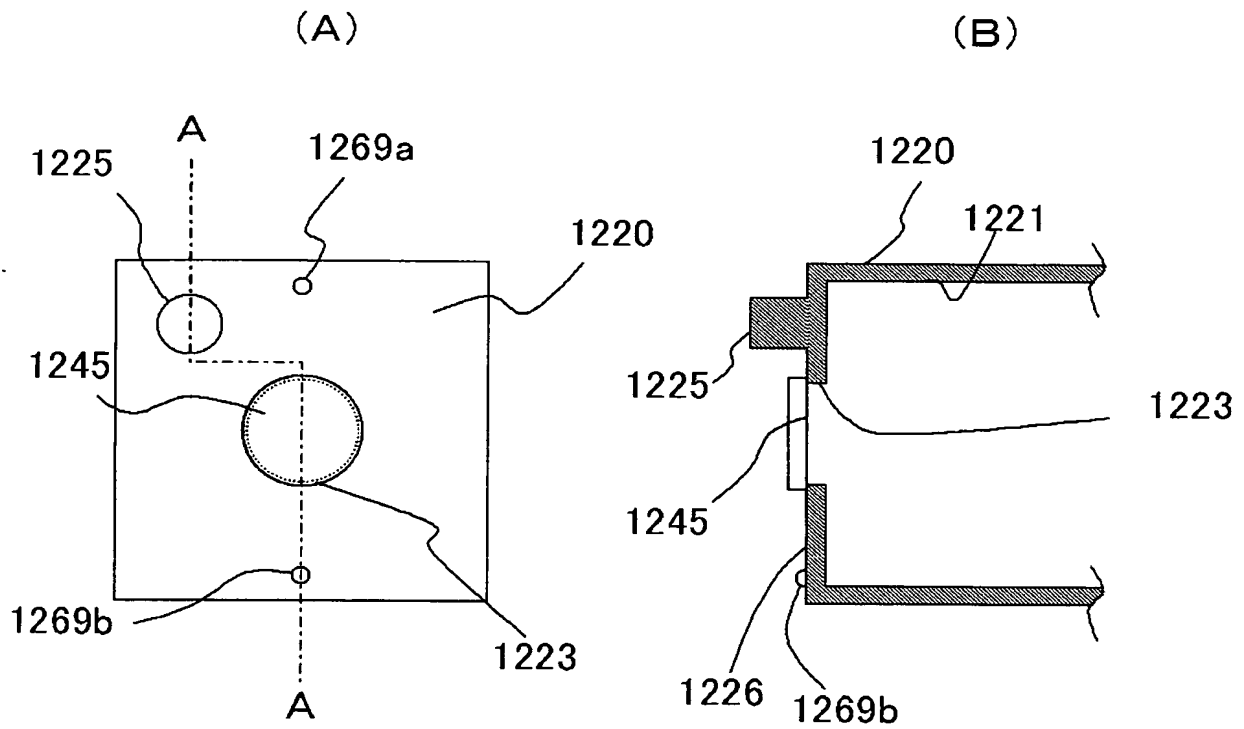


FIG. 14

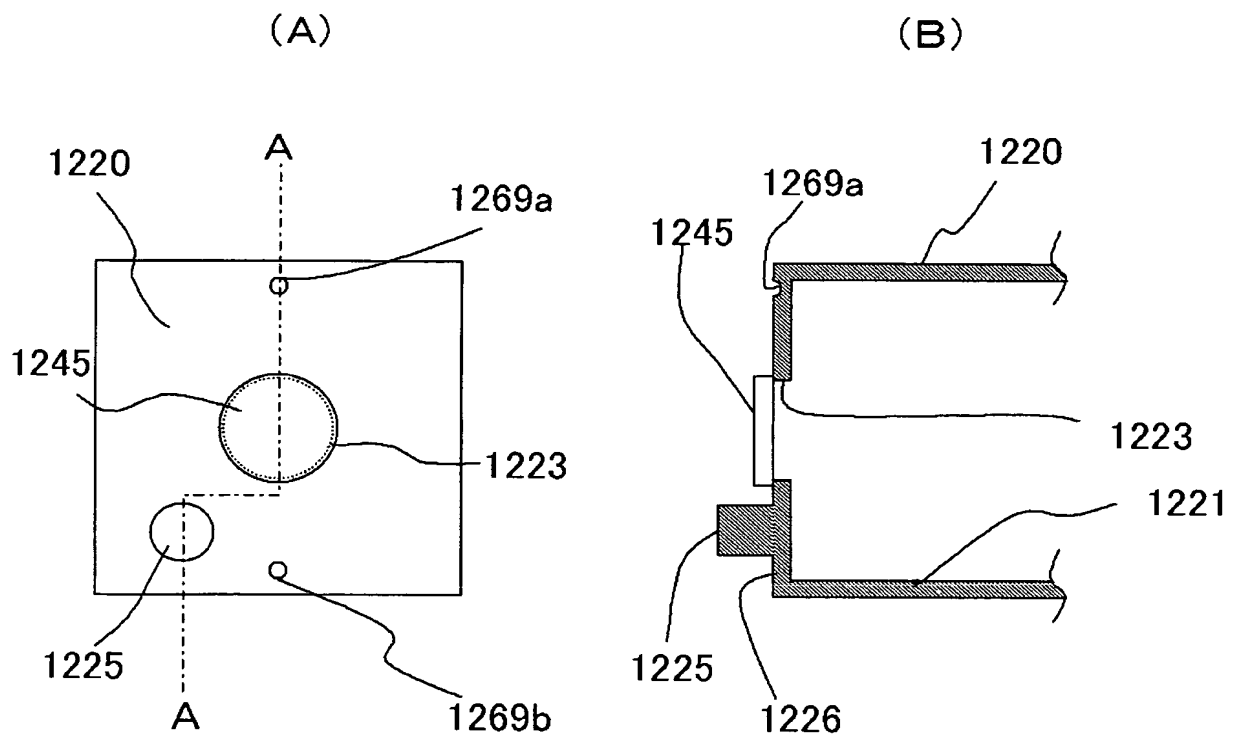


FIG. 15

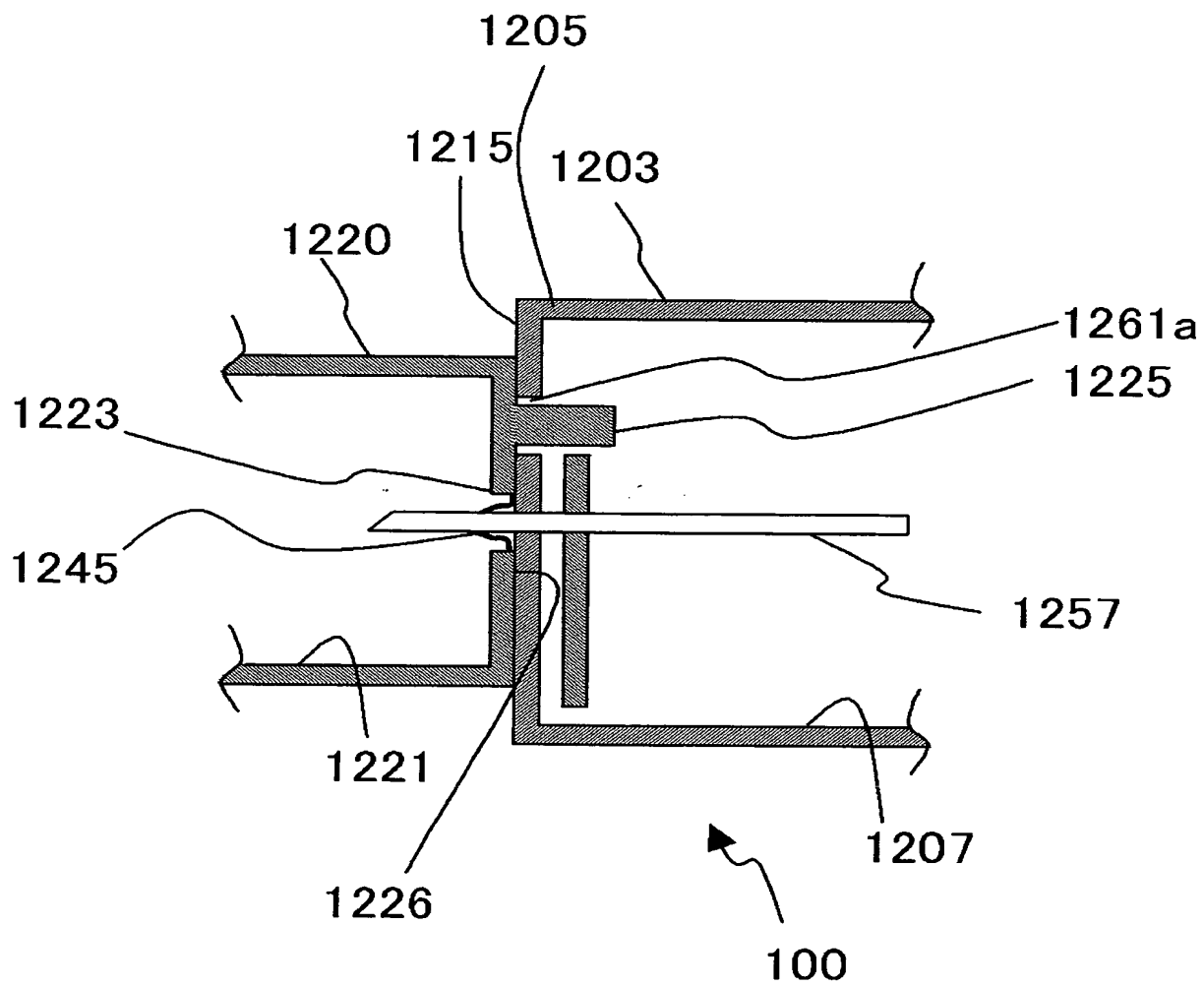


FIG. 16

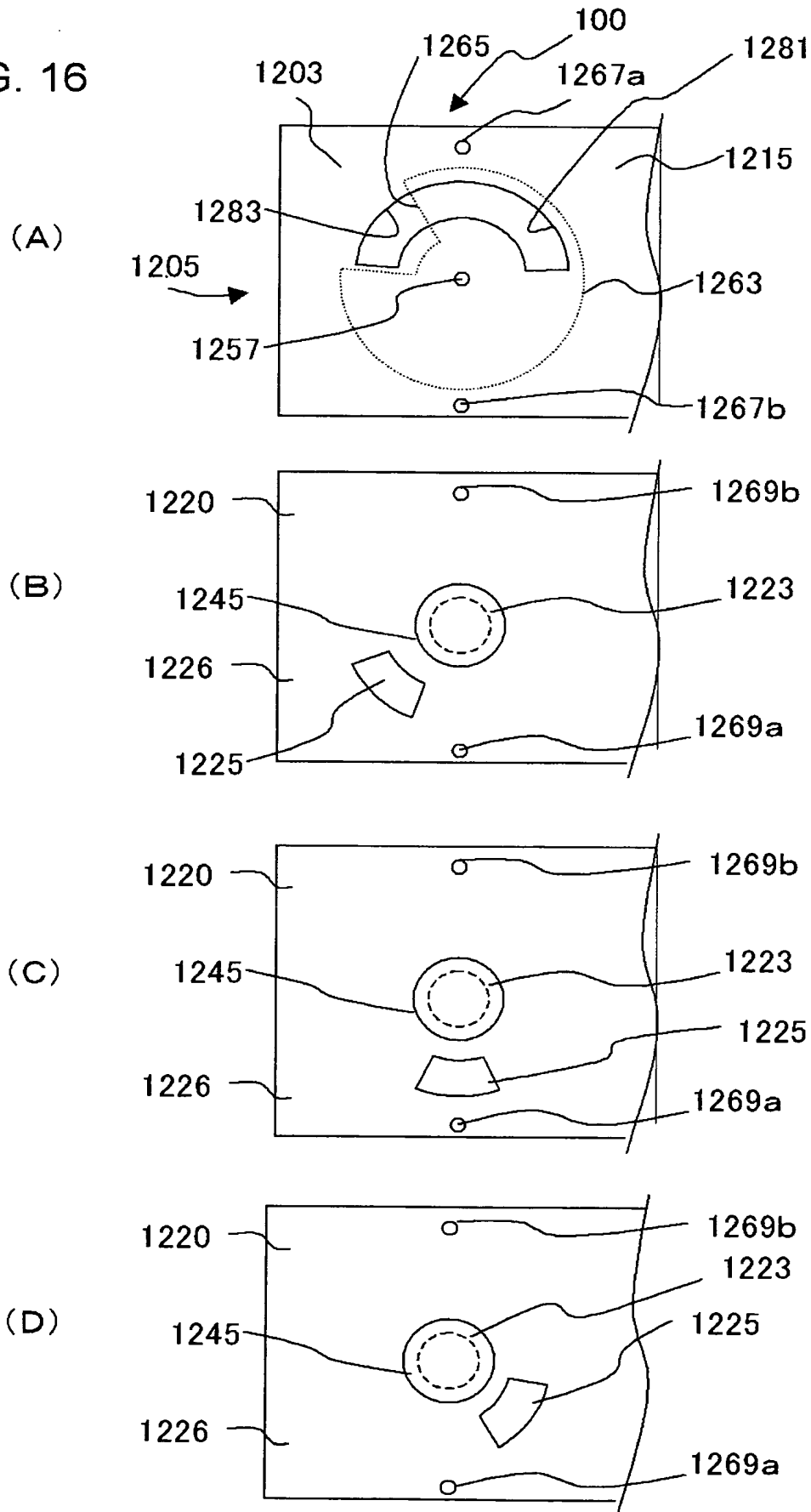


FIG. 17

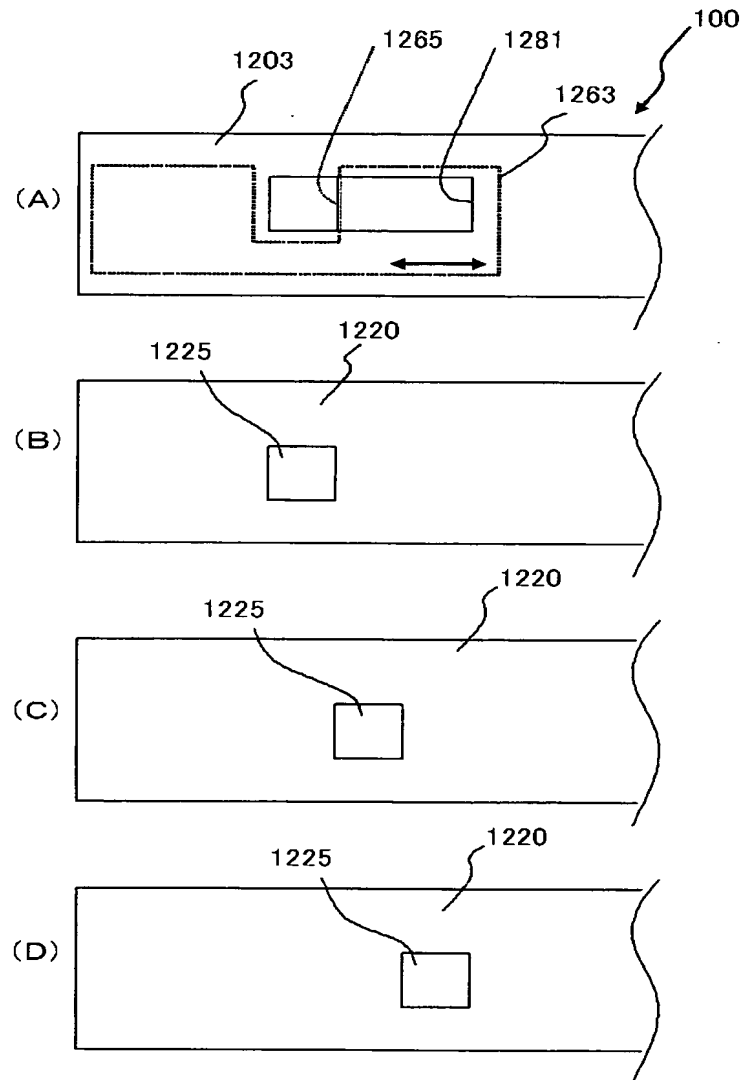


FIG. 18

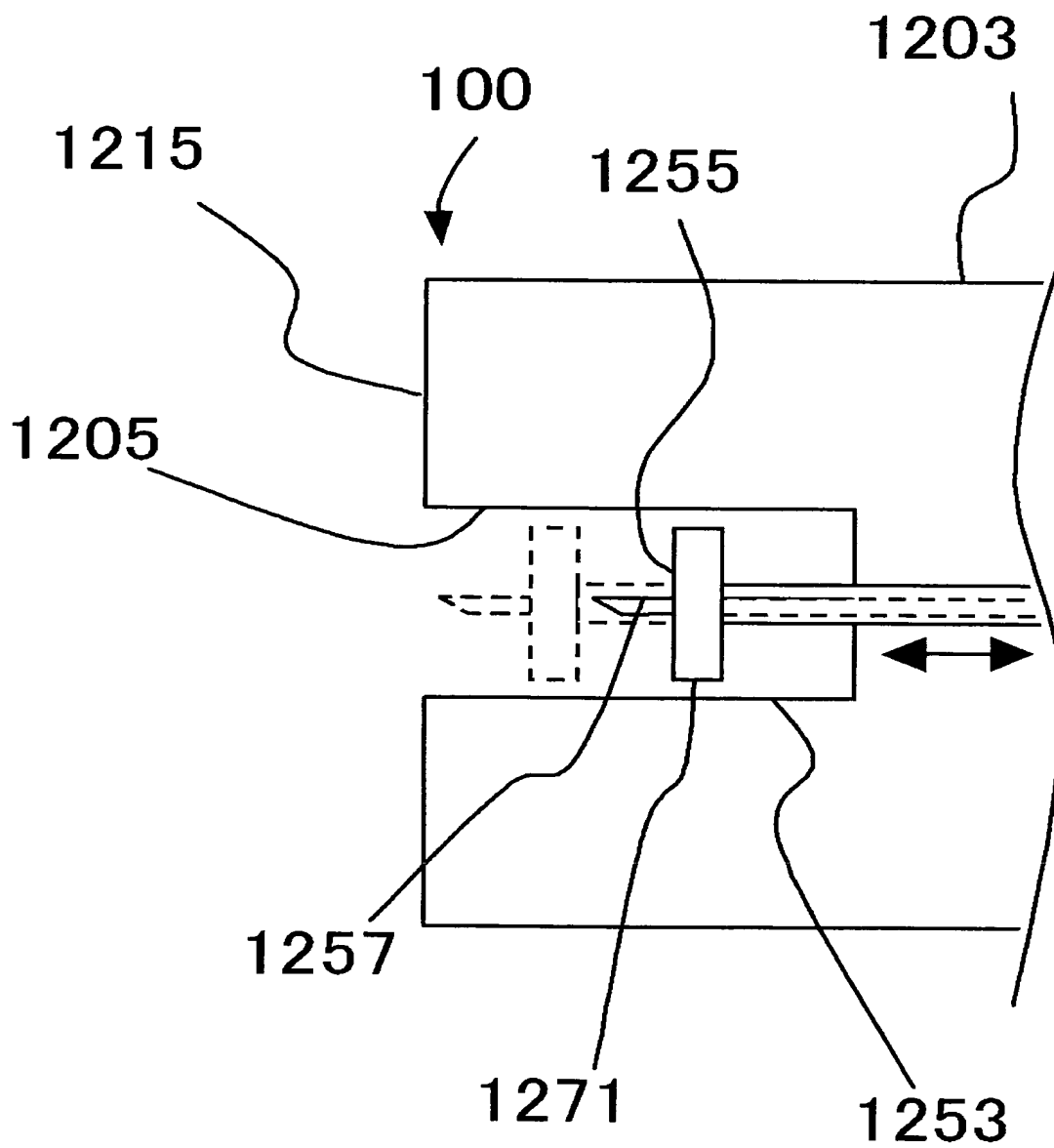


FIG. 19

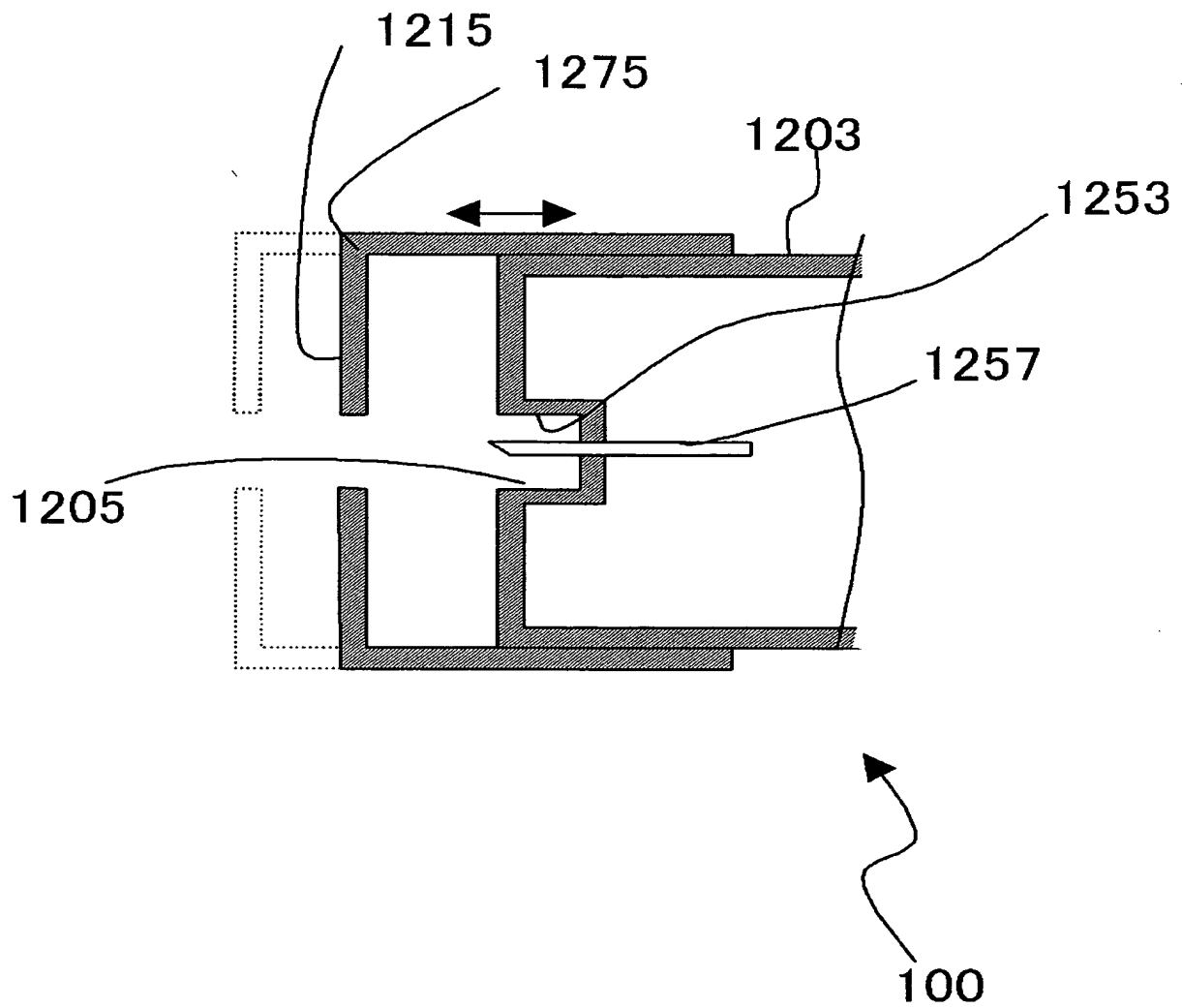


FIG. 20

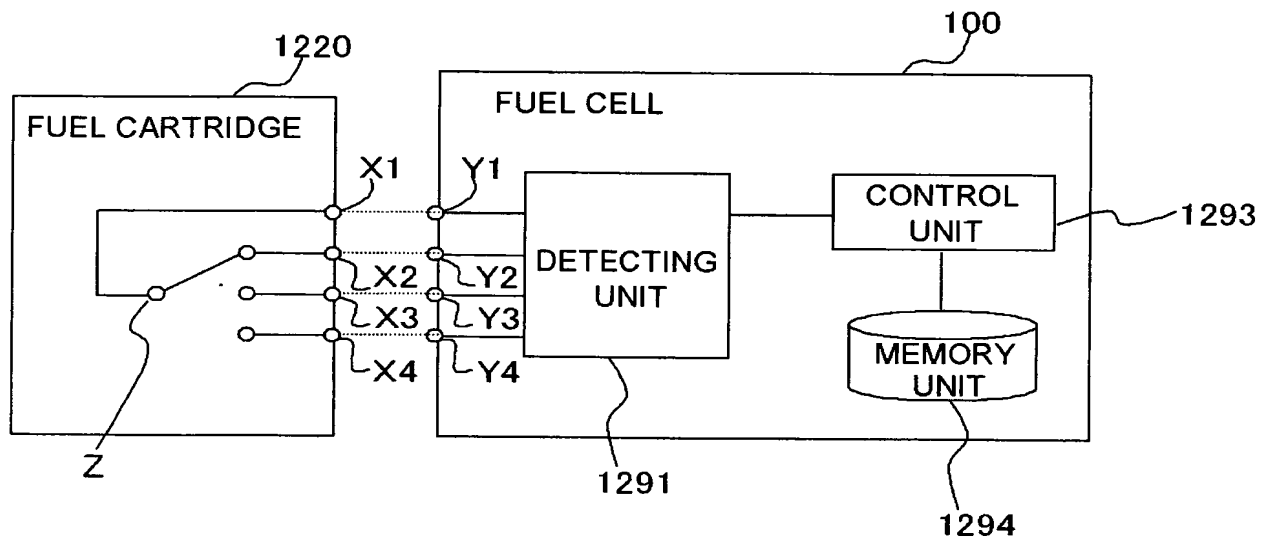


FIG. 21

1294

CONNECTING TERMINAL	TYPES	
Y2	CONCENTRATION	10%
Y3	CONCENTRATION	30%
Y4	CONCENTRATION	50%
⋮	⋮	⋮

FIG. 22

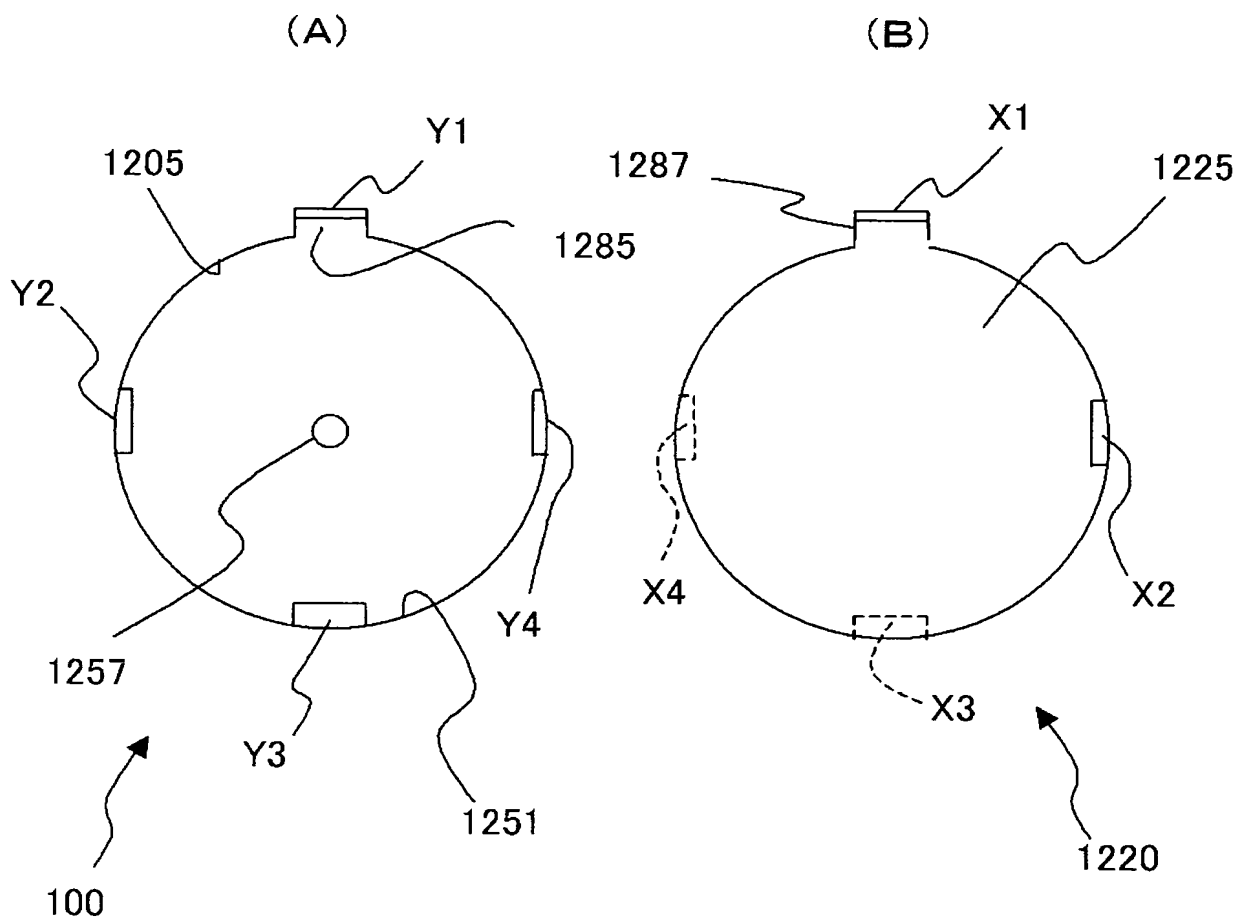


FIG. 23

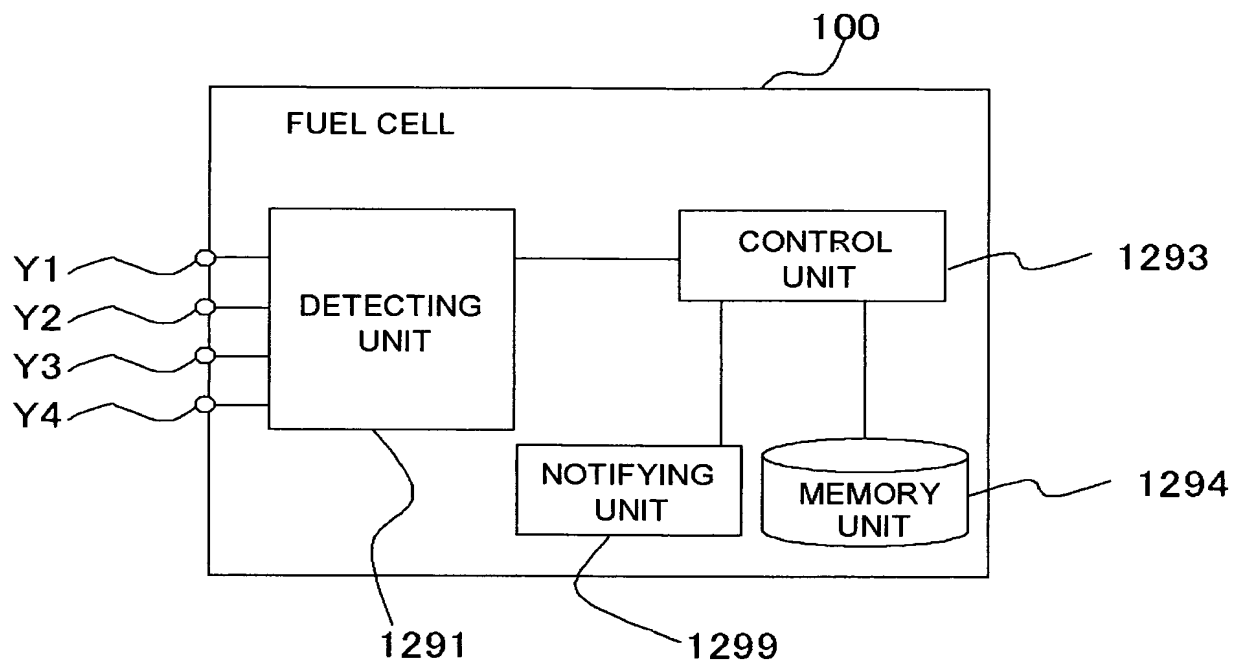
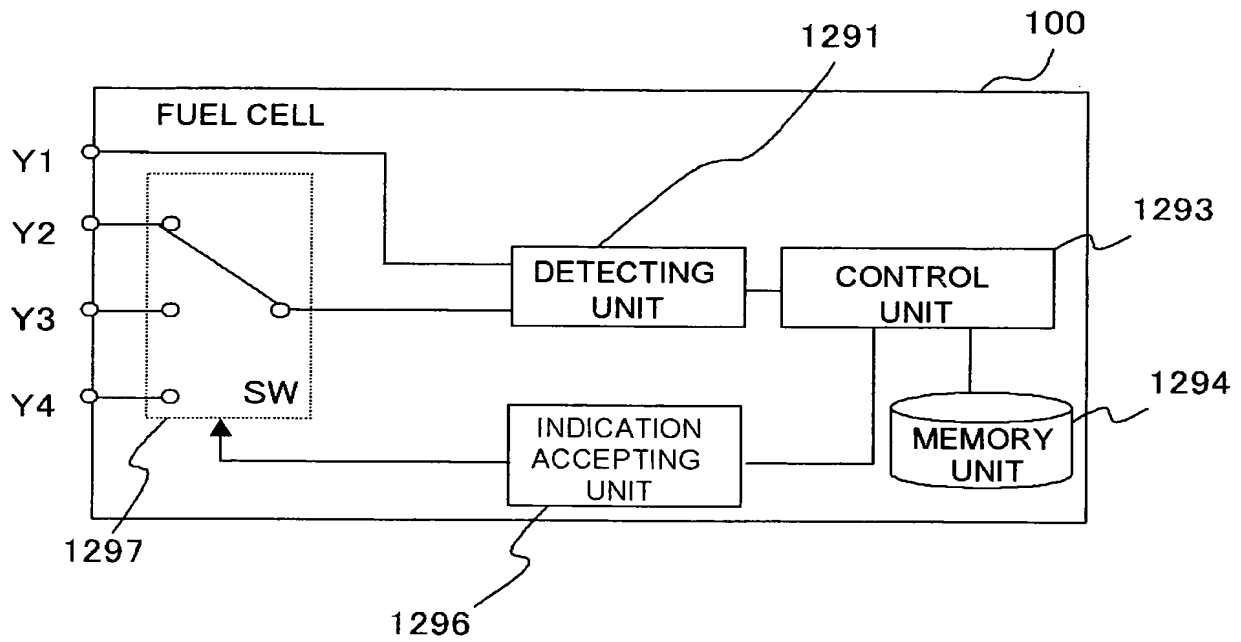


FIG. 24



25 / 31

FIG. 25

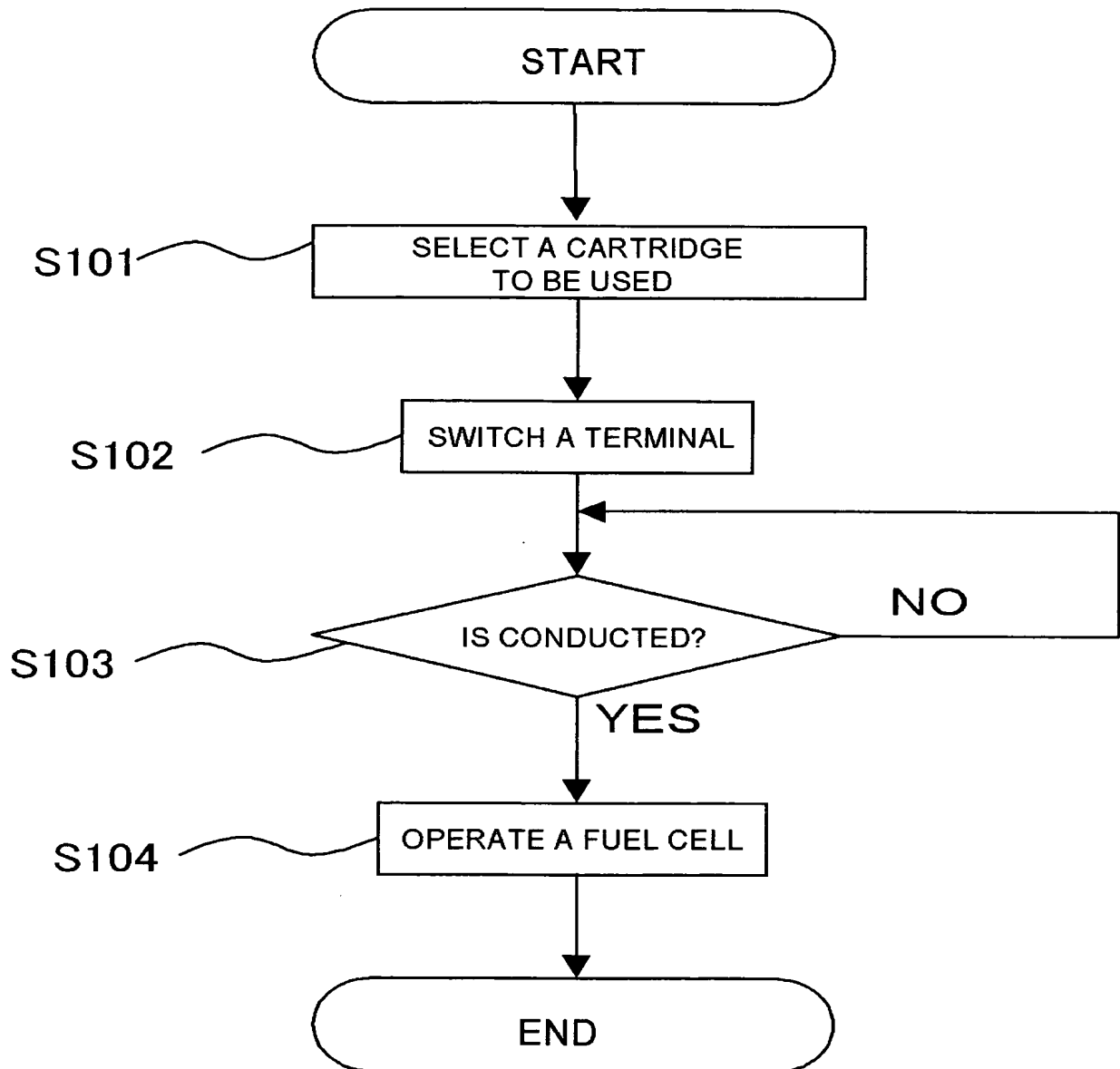


FIG. 26

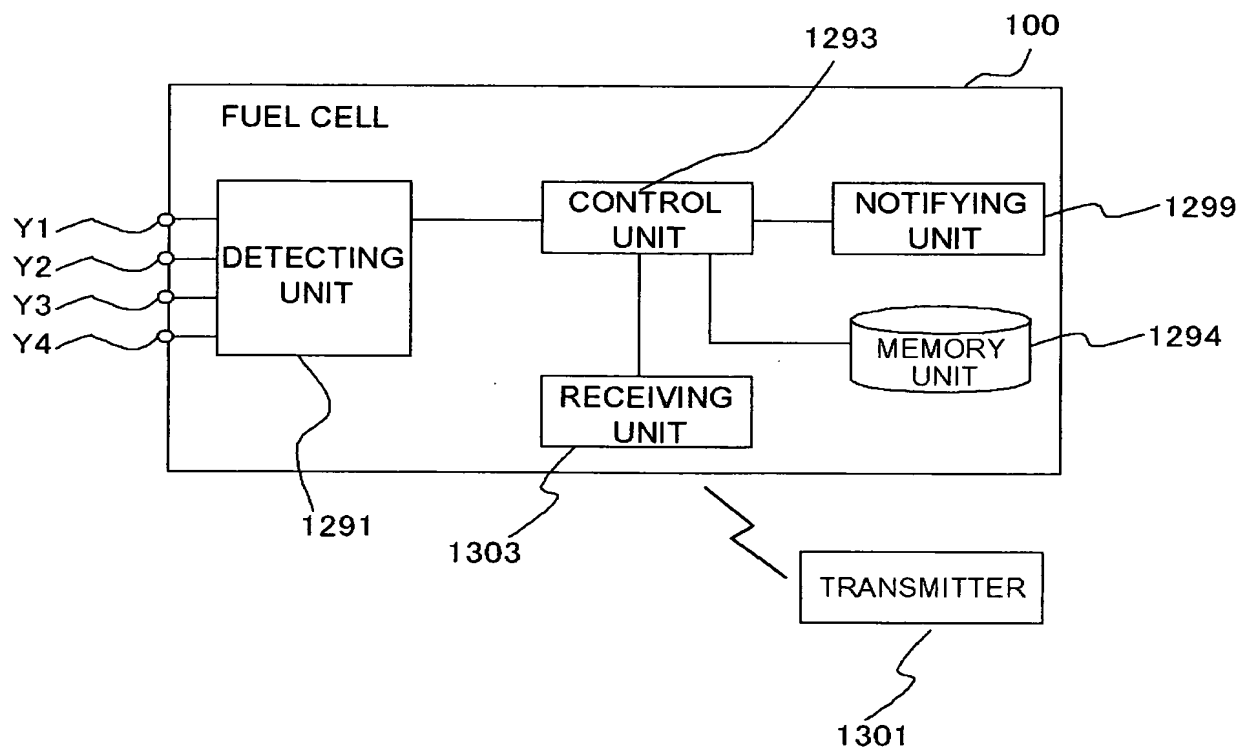


FIG. 27

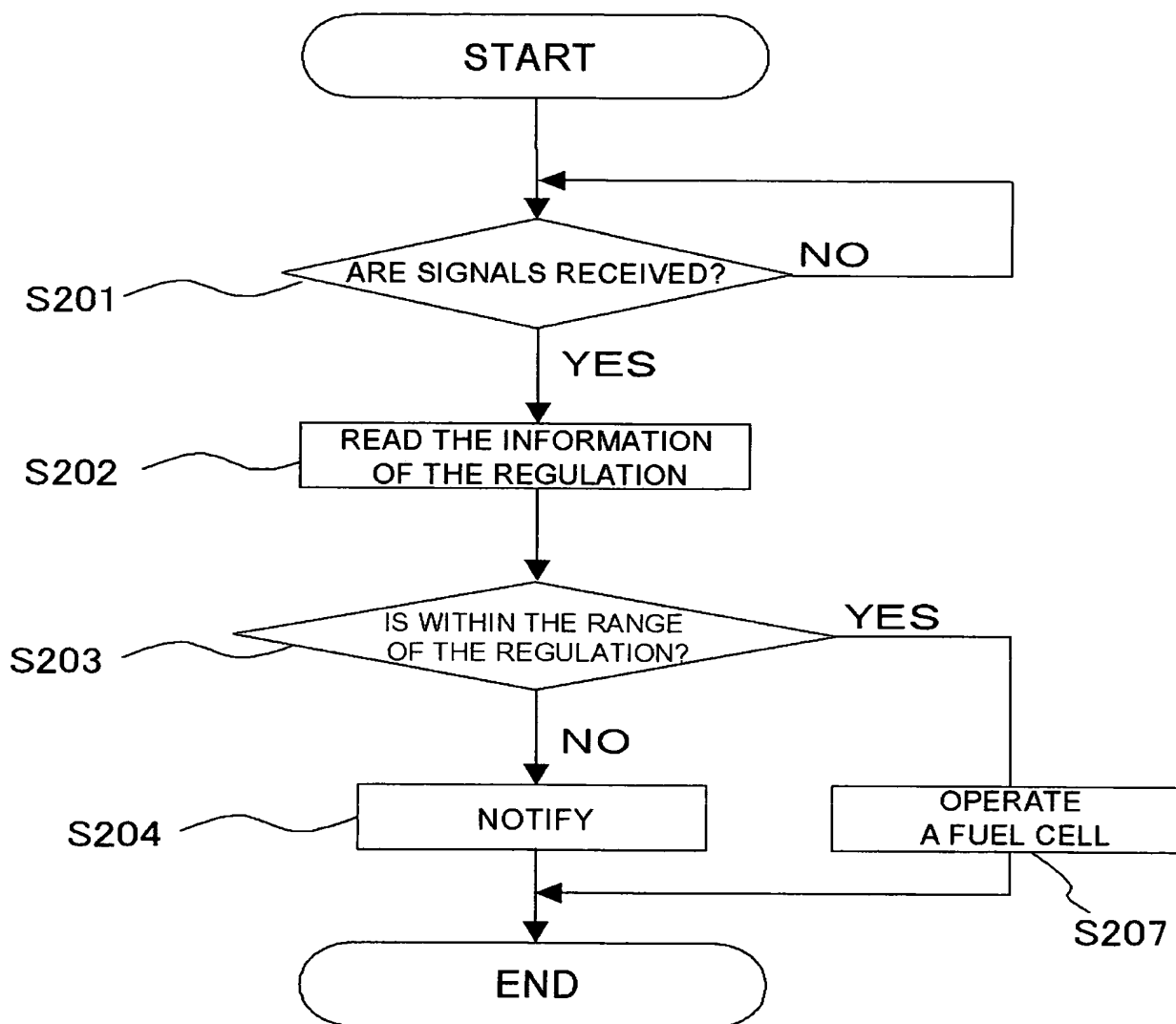


FIG. 28

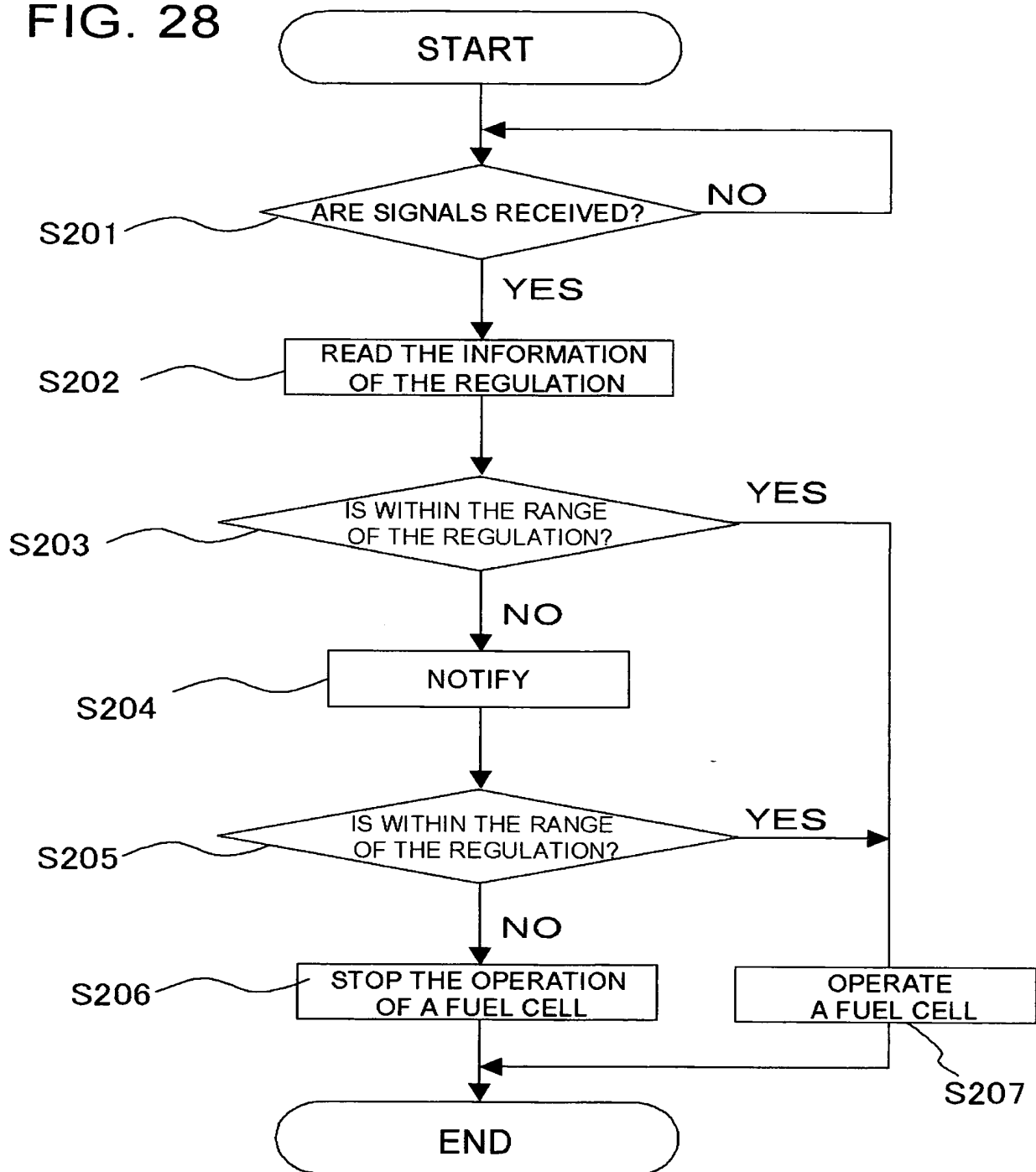


FIG. 29

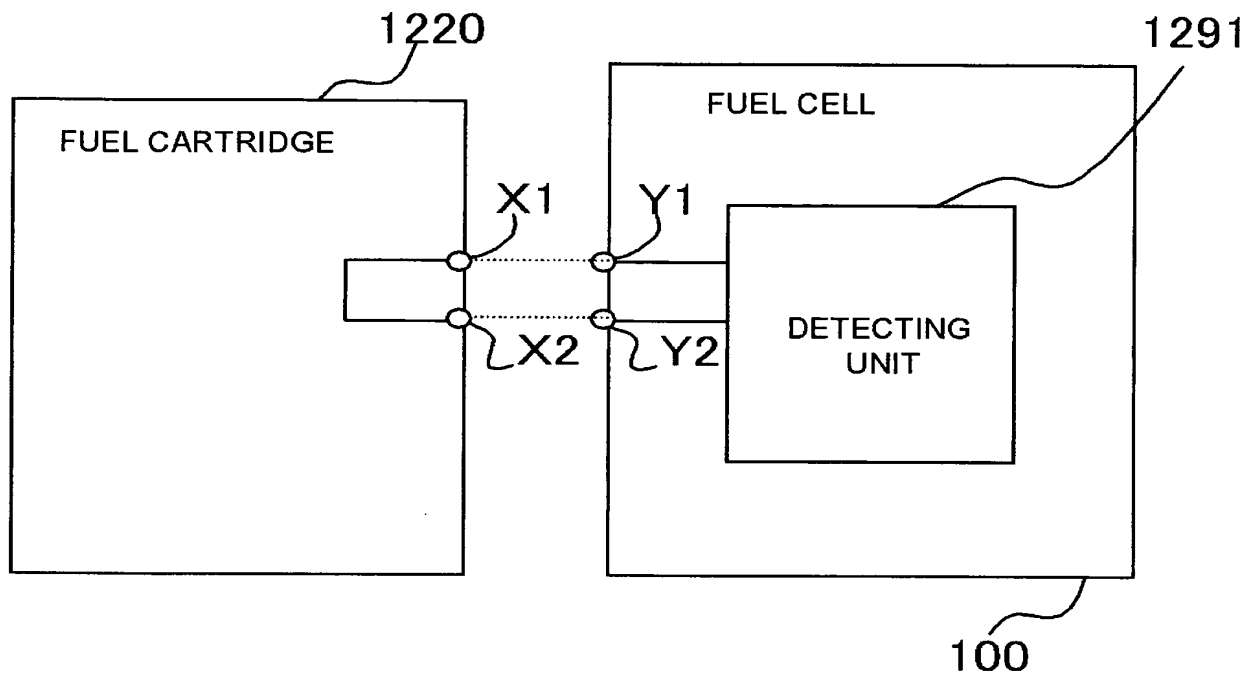


FIG. 30

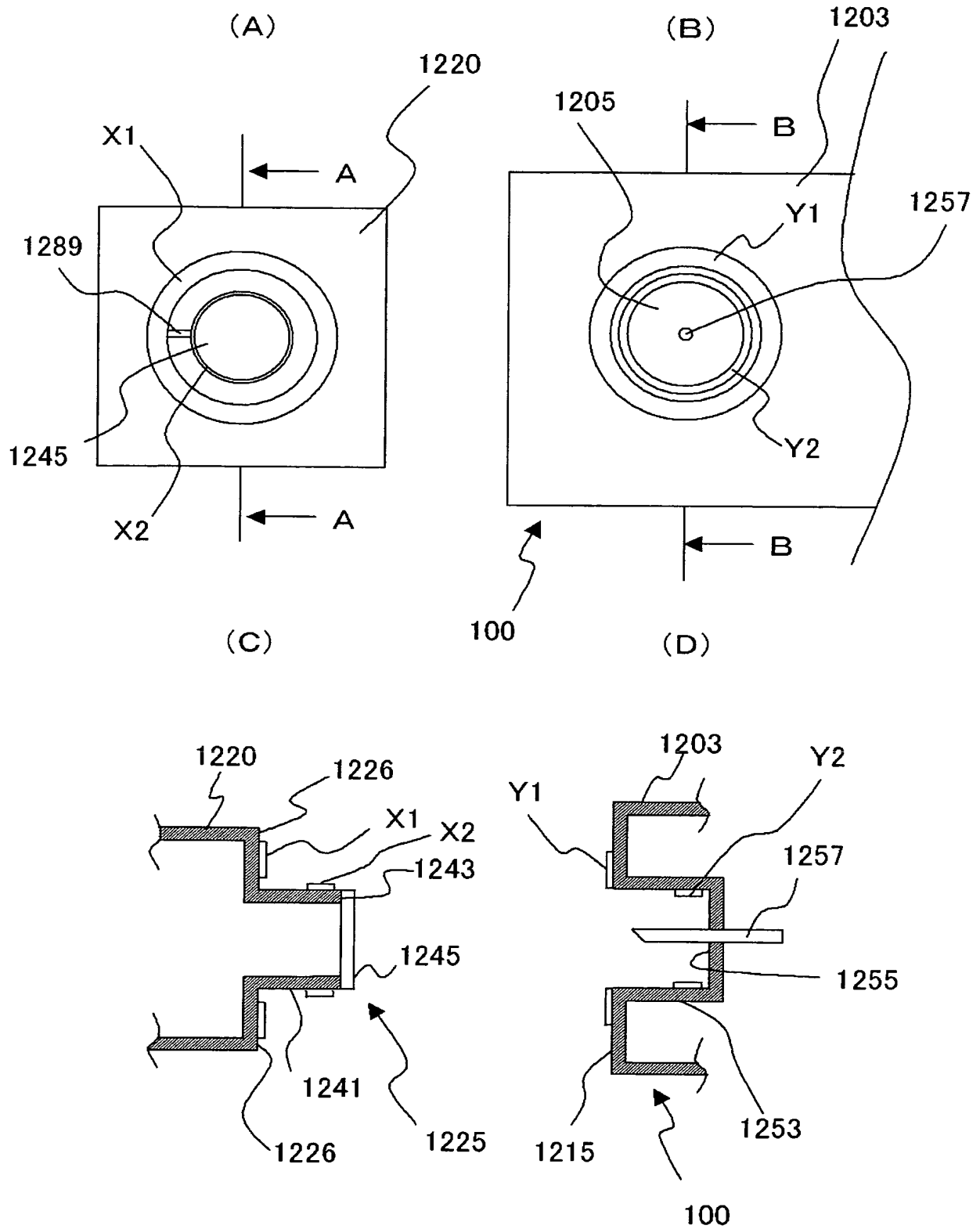


FIG. 31

